

锡石硫化物型矿床中铅锌矿的特征 对预测锡矿化的意义

姚金炎 吴明超 冶金工业部地质研究所

大量事实说明,锡石硫化物型矿床与一定的 花岗岩有关, 而这类花岗岩又多为隐伏岩体, 因 此,研究花岗岩的含矿性,并应用其含矿性的标 志预测锡矿化,有一定的局限性。

金属矿床的分带性早已用于指导找矿。近年 来,由于地球化学、矿物包裹体、同位素地质学 的进展,进一步揭示了金属矿床的分带本质和形 成机理,发现了许多肉眼所不能见到的矿化现象, 从而有效地指示了找矿。

锡石硫化物矿床的分带现象尤其明显。1962 年郭文魁发表了"中国金属矿床的原生分带性及 其成因问题"一文、引用了个旧锡矿床的金属矿 物分带资料。西南冶金地质 308 队,在大量生产 勘探资料基础上。提出了该矿床金属矿化的分带 模式: 由花岗岩向外接触带碳酸盐围岩,有规律 地分布着铜 •铜锡 •铅锌锡 •铅锌矿化 应用这 一规律在矿区找矿、取得了可喜的效果。

锡石硫化物矿床的上部或其周围、常分布有 铅锌矿床和矿体, 其规模远比锡矿化大, 所以, 发现铅锌矿化的机会也比锡矿化大。这就为利用 铅锌矿的特征预测锡矿化提供了有利条件。当然, 在锡矿化的成矿区或成矿带内、也有不含锡的铅 锌矿存在。因此,区别含锡与不含锡的铅锌矿床, 具有重要的实际意义。

实际材料

笔者对个旧矿区的某些方铅矿作了测试。引 用了本所有关专题组的湘南部分铅锌矿资料,同 时收集了国外少数铅锌矿微量元素含量数据,试 图揭示不同部位、不同矿床铅锌矿的特征,以判 别含锡与不含锡的方铅矿和闪锌矿。

1.矿床地质 本文所述的矿床有二类:一类 是含锡的铅锌矿、它们与岩浆活动关系密切、金

属矿化分带明显(个旧、香花岭、黄沙坪、野鸡 尾矿床等);另一类是不含锡的铅锌矿,如水口 山、宝山、横山岭、康家湾、铁渣市、后江桥、 方园矿床等,其中水口山为岩浆热液型铅锌矿, 其余皆为不同类型的层控矿床 (表1)。

- 2. 包裹体成分特征 9 个矿床、矿点14个方 铅矿、闪锌矿的包裹体成分资料分别列于表2、 表 3 。 从表中可以看出:
- (1) 方铅矿包裹体的成分以H2O和CO2为 主,占总量的90%以上,两者含量成反比。
- (2) 与锡矿伴生的方铅矿包裹体, CO₂ 含量 高・如个旧老厂、蒙子庙51号矿体、黄沙坪矿床 分别为89.46,43,40,34.13(33.34)微克: CO₂/H₂O 分别为 9.9, 0.78, 0.56 (0.57)。而 不伴生锡矿的铅锌矿和铅锌铜多金属矿的方铅矿 包裹体中, CO2 多小于20微克, CO2/H2O~0.3。

现有资料证明,老厂湾子街矿床是个旧全区 迄今原生锡矿储量最多的地区。蒙子庙、白泥洞 矿床, 目前生产勘探已控制到花岗岩接触带, 证 实这里没有规模较大的锡矿床(仅局部有零星的 锡矿体),基本是以铅锌为主的矿床。老厂和蒙子 庙区以北东向黄泥洞断裂为界,北东向断裂为成 矿断裂。蒙子庙51号矿体(顺序号2)的方铅矿 样品即采自老厂与蒙子庙两区矿床过渡地带的近 于北东向黄泥洞断裂。从表2可以看出(顺序号 1~5),采自上述地区的样品,其包裹体成分中 的CO2含量和CO2/H2O比值的变化是有规律 的。老厂锡矿床中的方铅矿和蒙子庙、白泥洞以 铅锌矿床为主的方铅矿中, CO2与CO2/H2O有 很大区别。前者包裹体中的CO2含量与CO2/H2O 比值比后者高几倍。介于两者之间的过渡区方铅 矿中包裹体、CO2与CO2/H2O则介于二者 之间。

	#	矿床 基本地	人
矿区名称	出事地民	岩 浆 活 动	矿床主要特征
个旧鶴乡 金属 矿床	主要出席中、上三选统以碳酸盐岩为主,砂页岩为次的地层;含矿间岩主要为中三选统个旧组泥质	燕山中晚期岩浆活动发育,侵入岩占全区面积1/3,为基性、酸性、碱性侵入岩,西区有火山岩。与锡、铜、铝锌矿有关的为斑状花岗岩和中细粒花岗岩	金属矿物分带明显,按产状矿体有正接触带,是间条带、脉状、管状、遗镜状及裂腺网状等。金属矿物种类多,有磁黄铁矿、黄铁矿、毒砂、黄铜矿、锡石、闪锌矿、方铅矿等。人部分已氧化,仅部分接触带保存较多的硫化矿
香花龄锡劣金属矿床	矿区出篇集武系、泥盆系地层、寒武系为变质砂岩、下泥盆绕为砂层的砂岩、下泥盆统为砂层,当时,含矿捐岩、中泥盆统为碳酸盐岩。含矿捐岩为中泥盆统白云岩、泥灰岩	矿区西南有年龄为 155 白万年的癞 乒岭黑云母花岗岩、早椭圆形岩株	金属矿物分带明显,从岩株顶部的Ta、Nb、W、Sn、Be 矿床、到外接触带的Sn、Bb、Zn矿床、Bb、Zn矿床。矿床设化 。 向断裂控制,有锡石硫化物矿体和铅锌矿体两类;矿体导缓 la 斜 的"似层状"、简件状、扁豆状和陡倾斜的不规则脉状; 七要由方铅矿、以锌矿、磁黄铁矿、黄铁矿、卷砂、锡石、磁铁矿、赤铁矿及少量黄铜矿组成
黄沙坪铅锌锡 多金属矿床	矿区主要为下石炭统地层,岩性为碳酸盐岩及砂页岩;含矿陶岩上要为石磴子组灰岩	区内属性次火山岩发育,平面上呈哑铃状,向下逐渐缩小,呈倒喇叭形:坑道深都出现花岗斑岩小岩株	金属矿物分带,闭绕花岗斑岩小岩株接触带为Cu、Fe、Sn、W、Mo,外接触带为 Pb、Zn;铅锌矿受断裂控制,引扁豆状、似层状、脉状;矿物有黄铁矿、方铅矿、闪锌矿、黄铜矿、毒砂、磁铁矿、锡石、磁黄铁矿
宝山制钨钼铋 铅锌矿床	区内出露下石炭统石磴子组灰岩、测水组砂页岩。 矿体赋存于灰岩中	地表有花岗斑岩岩墙群,与成矿有关的花岗闪长岩体隐伏于矿区西部的深部	矿体产于夕卡岩中,产状复杂,呈不规则脉状、似层状、扁豆状;矿物有黄铜矿、辉钼矿、辉铋矿,还有钨矿物,方铅矿、闪锌矿、黄铁矿、瞿铁矿、毒砂、锡石、铜蓝等;矿床分带明显,中部为铜矿体,向外为综合矿体,再外为铅锌矿体
水口山制铅锌矿床	区内主要发育选系某口组、 桥霞组灰岩	出篇花岗闪长岩岩株	矿床围绕花岗闪长岩分为老区、西区和南区等。矿体产于接触破碎带或层间破碎带中,呈似层状、筒状、柱状、扁豆状、煤状;矿物有方铅矿、闪锌矿、黄铜矿、黄铁矿、黝铜矿、辉铜矿、磁铁矿、辉银矿、斑铜矿等
游家湾铅锌矿水	出霧地层为石炭系至白垩系, 矿体主要赋存于侏罗系底砾岩和下二.这统当中组地层中	矿区东边有老盟山英安玢岩,西南面有木口山花岗闪长岩	为首矿体,受一定层位控制,矿体产状与倒转背斜一致,呈似层状、透镜状及多层叠加产出。主要金属矿物为黄铁矿、闪锌矿和方铅矿、还有少量黄铜矿、毒砂、磁黄铁矿、赤铁矿等
野鸡尼铅锌铜 锡矿床	矿区出露前泥盆系及中、上泥盆统地层, 矿体赋存于上泥盆统碳 酸盐岩中	矿 区发育有石英斑岩、花岗斑岩	矿区广泛发育次一级的东西向和近南北向的断裂,矿体受其控制,呈透镜状、简状、囊状等; 矿物有方铅矿、闪锌矿、黄锅矿、黄铁矿、褐锅矿、黄锅矿、黄铁矿、锡石、硫锰矿、自然金、辉硫锑铝银矿等
横山岭铝锌矿床	矿区出露中、上泥盆统地层	矿区发育有石英既岩、花岗既岩	矿床与北东向断裂有关、矿体呈不规则脉状、透镜状、囊状; 矿物有方铅矿、闪锌矿

- (3) 从表 3 看, 闪锌矿包裹体成分中的CO₂ 含量比方铅矿中的低,但总体上也有类似上述的 现象。如香花岭锡铅锌矿床、黄沙坪铅锌锡多金 属矿床中的闪锌矿,包裹体中的CO2含量大部分 大于9微克,而水口山、康家湾、横山岭、宝山、 方园等不含锡的铅锌矿床, CO2 含量多半小于8 微克。但也有少数例外,如黄沙坪的2个样品, 野鸡尾的 1 个样品, CO2 含量偏低; 宝山西、铁 渣市的2个样品含量偏高,其原因尚不清楚。
 - (4) 与岩浆岩关系较密切的锡铅锌矿和铅锌

矿中闪锌矿包裹体中F一般大于CI, F/CI 大于 1。CH4大都为痕迹,如香花岭、黄沙坪、野鸡尾等 矿床。与岩浆岩关系不清或不密切的铅锌矿床, 如宝山西、横山岭、铁渣市、方园等, F/CI则 小于1, 而CH4较高。

3.微量元素特征 测定了方铅矿中的Cu, Zn, Ag, As, Cd, Sb, Sn, 闪锌矿中的In, Ga, Ge, Ag, Cu, Sn, Co, Ni, Cr, Te, Se 含量。这些元素主要呈类质同象形式存在。 分 析结果列于表 4 、表 5 。这些数据说明:

		方铅矿微量	元素	含量	表(白	ppm)	_5/		16	表 4
顺序号	野外編号	矿区 (矿点)	Cu	Zn	Ag	As	Cd	Sb	Sn	Sb/Ag
1	L 38	个旧老厂	950	52	1700	22-	37	1300	480	0.76
2	L 77	蒙子庙	450	10	1375	ļ	39	1250	360	0.91
3	L 73	蒙子庙	1250	35	1825		40	510	260	0.30
4	L 76	蒙子庙	46	610	1025	1	40	420	180	0.41
5	B 6	白泥洞	20	25	1250		38	1030	10	0.82
6	79—X 39	龙树脚	860	780	2746		109	3700	< 300	
7	79—X 36	龙树脚	150	950	4415	}	110	3500	320	
8	79—X 12	龙树脚	100	1060	2573		70	1800	670	
9	79—X 13	龙 树 脚	620	1870	5717		80	2300	550	
10	79-29	龙 树 脚	150	1030	5067		70	5000	490	
11	7980114	自港洞	< 800	< 5000	1260		粮	670	150	
12	79115	白泥桶	15700	< 5000	187		粮	520	140	
13	黄坑18	黄沙 坪	160	160	620	51			>1000	1
14	Y 47	野鸡尼	20	740	1320	110			210	
15	h 27 + 29	横山岭	90	2600	1400	200			130	
16	金3+6	金狮岭	20	210	520	60			180	,
17	d 4	黄家坝	320	1600	580	135			<30	
18	d 9	黄家坝	650	3800	520	200			<30	
19	后10	后江桥	10	1900	160			į	150	
20	F 12	铁 渣 市	30	2800	4640	4200			830	
21	方坑 1	方 闶	170	320	1320	105			<30	
22	方坑 5	方 园	150	120	1480	91			>1000	
23	宝岩23 + 25	宝山西	1400	3300	1600	120			62	
24	凡口 (平均值)	凡 口			1640	500	50	1210		0.74
25		不列颠诸岛			10			8	3	0.8
26	小铁山	白 银			577		90			
27		澳大利亚、皮罗肯希尔			618			1010	51	1.63
28	水口山	水口山			1076	272	150	1580	21	1.47
29		长江中下游铁铜矿			860		89			
30		美国爱达荷州,伍德河			3683		19	3783	50	1.03

26为同生方铅矿, 26为火山热液矿床, 27为沉积变质矿床, 28~29为夕卡岩热液矿床, 30为热液铅一银矿; 顺序号1~5为本专题,6~12为云南308队,13~23为本所层控铅锌矿组,21~30为宋学信资料

	方	**	₩*	6	*	#	雌	分	
順序 号		堆	点	H ₂ O	F	CI	Li	Na	K
1	L 38	ŧ	J-	9.049	0.1159	0.2794	0.0004	0.0031	0.0034
2	L 77	个阳雪	使子庙	54 - 98	0.3872	0.6195	0.0180	0.0575	0.1028
3	L 78	个旧鄉	化子庙	88.99	0.0687	3.662	0.0042	0.0136	0.0152
4	L 76	个阳量	子庙	76.32	3.919	0.2063	0.0096	0.0490	0.0685
5	B 6	个阳白	光料	86.19	0.0778	0.6379	0.0029	0.0369	0.0258
6	黄273-3	海南美	沙坪	60.35	1.545	0.5804	0.0199	0.22 3 2	0.4275
7	黄309-1	美南乡	t沙坪	57.85	2.229	0.7309	0.0235	0.3007	0.0841
8	宝岩2	宝山	酒	58.30	0.0301	0.3002	東	0.0372	6.0187
9	水-1	常宁村	kПШ	88.38	0.3718	0.8128	(# [^]	0.5642	0.2805
10	横13 1	横山	坤	89.39	0.4422	0.6159	0.0367	0.1172	0.1966
11	横一46	横山	神	77.82	0.6826	0.6826	0.0198	0.2532	1.487
12	横一 i	横出	坤	88.16	0.1276	0.8848	擬	0.0789	0.1324
13	使 —14	铁道	市	71.94	0.3876	1.630	0.1059	0.3383	5.298
14	d-10	黄薯	划	90.16	0.1175	0.4685	0.0364	0.2906	0. 1951

注:顺序号1~5为作者资料:6~!!为本所层控铅锌矿专题组资料:均由本序

			Ø	#	₩	包	裏	体	成
统一 编号	野外繪号	地 点	н₂о	F	Cl	Li	Na	K	Ca
1	香34	香花岭	69.29	5.338	1.194	0.0248	0.3565	0.8859	9.538
2	香20	香花岭	78.74	2.348	0.5697	0.0323	0.1961	艧	5.369
3	香4	香花岭	4.392	0.0646	0.2132	0.0194	0.0496	0.0831	0.6923
4	黄2004	黄沙坪	82.90	2.671	2.893	0.0258	0.8669	0.7849	6.955
5	黄2732	黄沙坪	67.27	4.414	1.669	0.0287	0.4579	0.7171	6.264
6	黄2734	黄沙坪	83.35	1.907	1.843	0.0168	0.2677	0.1283	3.222
7	黄273-5	黄沙坪	84.72	1.193	0.5378	0.0739	0.1180	1.188	4.972
8	黄200-2	黄沙坪	48.34	0.1427	0.2047	板	0.0791	0.0545	2.052
9	野20	野鸡尾	79.58	6.340	0.8509	0.0446	0.0713	0.1595	7.280
10	冰 2	水口山	84.94	0.8971	1.930	痩	0.8529	0.6173	7.250
11	廉1	康家湾	87.43	3.049	0.8720	0.0177	0.5655	0.2530	4.086
12	宝!	宝山	81.22	4.187	3.334	0.0170	0.3106	0.2171	2.104
13	宝山西14	宝山西	86.84	0.0866	0.9643	0.0331	0.5292	0.7992	0.5098
14	横	横山岭	90.73	0.7382	2.576	0.0316	1.153	0.3224	1.007
15	横36	横山岭	83.50	5.585	0.9080	0.0432	0.2959	1.489	1.782
16	横23	横山岭	83.57	0.6138	0.7280	粮	0.2227	0.3322	8.512
17	模20	横山岭	94.52	0.3071	1.083	0.0656	0.1257	0.1758	0.7568
18	铁11	铁道市	74.69	0.2812	0.4249	0.0893	0.1070	3.032	7.213
19	方!	方 圆	82.00	0.0996	1.223	0.0171	0.0328	0.1286	8.436

	分	析	结	果	•	× 10) 4 ppm)		表 2
Ca	Mg	Ag	Sn	Нı	N ₂	co	CH.	CO2	F/CI	CO ₂ /H ₂ O
0.8876	0.0019	0.0012	腹	0.0007	0.0155	痕	痕	89.16	0.4148	9.9060
0.0553	0.0234	0.0155	痕	0.0007	0.3407	痕	痕	43.40	0.6250	0.7894
0.0993	υ.0055	0.0073	痕	0.0003	0.1011	痕	痕	7.029	0.0188	0.0789
2.241	0.0249	0.0083	痕	痕	0.1535	痕	痕	17.00	18.9966	0.2227
0.2668	0.0094	0.0062	痕	痕	0.2315	痕	痕	12.52	0.1219	0.1453
2.148	0.2485	0.002	痕	0.0195	0.3043	痕	痕	34.13	2.6620	0.5655
3.403	1.161	0.001	痕	0.8796	痕	痕	痕	33.34	3.0497	0.5763
2.117	0.5116			0.0024	0.0593	痕	稂	38.62	0.1003	0.6624
1.570	0.2548	艆		0.0124	0.3745	1 .281	痕	6.097	0.4574	0.0690
1.242	0.0191	0.0057	-	0.0046	0.4198	痕	0.5607	6.955	0.7180	0.0778
1.143	0.8491	0.0014	痕	0.0063	0.2079	痮	痕	16.85	1	0.2165
3.560	0.0962	57	7	0.0011	0.1649	痕	瘦	5.792	0.1442	0.0657
3.748	2.682	0.009	痕	0.0251	0.1599	痕	0.1295	13.56	0.2378	0.1885
1.759	0.4252		V	0.0022	0.0477	痕	痕	3.493	0.2080	0.0387

包裹体 组 测定。

分	分	析	结	果	(× 1	0 4 ppn	1)		表 3
Mg	Н2	N ₂	co	CH.	CO3	Sn	Ag	F/C1	CO ₂ /H ₂ O
0.9014	0.0243	0.1419	痕	痕	12.30		-	4.4707	0.1775
0.8600	0.0390	0.1340	痕	烺	11.72			4.1215	0.1488
0.5036	0.3645	0.4736	痕	痕	93.11			0.2656	21.1999
0.3020	0.0057	0.5176	0.1947	痕	1.879	0.0222	液	0.9233	0.0227
0.4095	0.2154	0.0364	0.2881	0.1753	18.02		痕	2.6627	0.2679
0.4819	0.0187	0.0987	痕	榎	8.664		0.0001	1.6347	0.1039
1.295	0.8307	0.0235	1.67 i	艆	3.373			2.2183	0.0398
0.6183	0.0238	0.0693	痕	0,1090	48.30			0.6971	0.9992
2.140	0.0082	0.1810	痕	痕	3.330	-	0.0012	7.4509	0.0418
0.1224	0.0041	0.0799	瘕	痕	3.371	-	0.0022	0.4648	0.0397
0.0919	0.0201	0.3152	0.2741	腴	2.937		痕	3.4966	0.0336
1.357	0.0222	0.1855	0.122	0.0817	6.839	0.008	0.0008	1.2558	0.0842
0.0946	0.0120	0.3950	稂	痕	9.738			0.0898	0.1121
0.2226	0.0053	0.1936	痕	0.9731	2.032		0.0003	0.2866	0.0224
1.002	6.0355	0.2748	痕	0.1411	4.880		0.0002	5.7696	0.0584
0.1509	0.0099	0.1921	0.4670	0.3553	4.848		0.0056	0.7286	0.0580
υ.0851	0.0023	0.2345	0.2471	0.3458	2.293		0.0012	0.2836	0.0243
2.388	0.0986	0.2271	痕	0.1640	11.29			0.6618	0.1512
0.2711	0.0035	0.1689	瘊	0.0629	7.554		<u> </u>	0.0814	0.0921

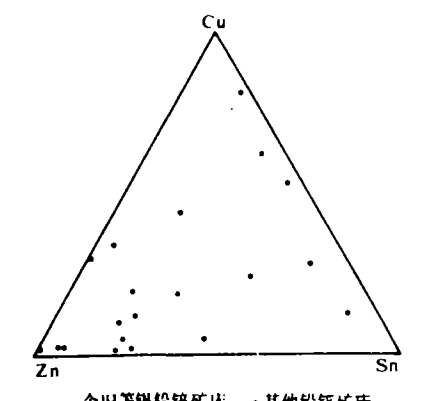
编号	地点	ln	Ga	Ge	Cd	Ag	Cu	Sn	Co	Ni	Cr	Fe	Te	Se
T 16-1	香花岭	810	7.2	0	4600	56	2400	13	< 3	4.3	<30	>20000	< 1	3
T 11	香花岭	420	6.8	0	3800	120	610	>1000	< 3	3.4	<30	> 20000	< 1	2
T 26	香花岭	140	4	0	4200	>100	11500	330	< 3	5.6	< 30	>20000	< 1	2
Т 36	香花岭	310	3	0	5000	450	7 2 0	91	20	55	<30	>20000	<1	3
S 9	蛇形坪	12	3	0	6500	>100	100	31	3	4.2	< 30	95500	<1	1
$S_{6}-1$	蛇形坪	1	< 3	0	6900	>100	110	210	3.5	4.3	<30	14100	< i	2
S 5	蛇形坪	< 1	13	0	6000	>100	180	>1000	3.2	4	< 30	>20000	< ı	1
S 12-1	蛇形坪	4	< 3	0	7000	>100	90	190	5	3.4	< 30	>20000	< 1	2
后8	后江桥	8	< 3		2000	50	140	_	< 3	< 3		4		
枚1		2	< 3	160	370	40	60	100	40	9		[\\		
方坑 6	方园	<1	20	2	2000	176	1820	-51	< 3	10		U		
宝岩14 + 15	宝山西	32	30	1	7900	130	800	110	5	16			ļ	
h — 47	横山岭	150	3.5	0	5600	80	280	220	< 3	7			1	
h — 10	横山岭	2	3.2	0	4500	360	3800	150	< 3	11				
8 岩 9	坑家湾	-13	20	0	2500	36	1500	30	< 3	12				

(1) 锡铅锌矿床中方铅矿的铜、锡含量一般较高,锌较低,如个旧老厂、蒙子庙西、黄沙坪等,Cu 450~950 ppm,Sn 300~1000ppm,Zn 10~160ppm。其他不含锡的铅锌矿床,铜、锡含量较低,锌含量较高,铜一般小于400ppm,锡小于200 ppm,锌高于300 ppm。

图1标绘了方铅矿Cu、Zn、Sn原子百分比。由图1可见,锡铅锌矿床中方铅矿Cu、Zn、Sn原子百分比的投影点主要集中于两个部位,一个在靠近Cu—Sn线的中部,说明方铅矿中Cu、Sn含量较高,两者含量近似,含锌量微。另一个如个旧龙树脚锡铅锌矿的投影点则集中于偏锌点的中部,从绝对值看,Cu、Sn、Zn都较高。产

生这两种情况,可能是成矿物质来源不同所致。 其他铅锌矿床的方铅矿投影点主要集中于近锌 点,说明方铅矿中Zn含量甚高,Cu、Sn含量 较低。

- (2) 表 3 顺序号23~30为国内外各种类型铅锌矿(同生方铅矿、火山热液型、沉积变质矿床、热液矿床等)的方铅矿,含锡量都很低(3~62)。显然有别于含锡铅锌矿中方铅矿的含锡量。
- (3) 值得注意的是,个旧矿区三个矿床的 5 个方铅矿样品,锡的含量与方铅矿包裹体中CO₂ 含量成正比(图 2),与原生锡矿床规模亦成正比。
- (4) 由锡铅锌矿床中闪锌矿的微量元素特征 (表5) 可见, In含量较高, 如香花岭锡矿铅锌



。个旧等锡铅锌矿床 • 其他铅锌矿床 图 1 方铅矿中铜、锌、锡原子百分比

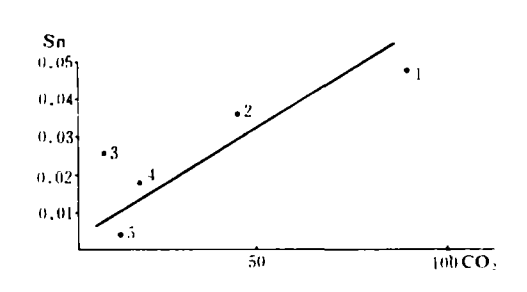


图 2 个旧方铅矿锡含量与包裹体中CO₂ 含量的关系

矿中闪锌矿 4 个样品, In 为140~810 ppm, 而其 他铅锌矿中闪锌矿的 In —般仅几ppm。

(5) 由图 3 的 In、Ga、Sn原子比可见,香花岭锡铅锌矿床 4 个样品投影点于 In—Sn 线附近,而其他铅锌矿床则投影于远离In—Sn线,甚至近 Ga 点处,说明含锡的闪锌矿的 In 含量高,Sn亦较高,不含锡的闪锌矿则 In 低,Sn亦较低。

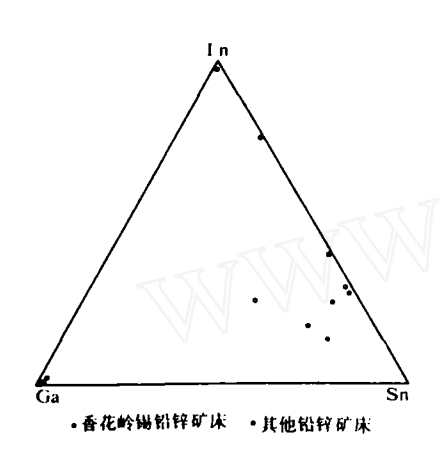


图 3 闪锌矿中钢、镓、锡的原子百分比

闪锌矿中Ge、Co、Ni、Te、Se含量都较低,且各种类型变化不大。

结 论

(1) 铅锌矿包裹体成分中的CO₂ 含量,可能

是锡铅锌矿床的一个重要标志。 C.B. 库兹涅佐夫、E.B. 库切连科对苏联某些古老地盾 (前寒武纪) 进行包裹体中CO₂ 晕试验结果发现,CO₂ 高浓度原是含稀有金属岩体的埋藏的地区。因此,在条件许可的情况下,逐步积累资料,就可以作出区域方铅矿包裹体中CO₂ 含量等值线分布图,为区域找矿评价提供一个方面的依据。

- (2) 铅锌矿包裹体中F/Cl和CH4的含量,可区别以岩浆成因和层控成因为主的铅锌矿床。前者一般F/Cl高,CH4痕迹;后者则相反。
- (3) 含锡铅锌矿床中方铅矿的特征是含Sn、Cu高、闪锌矿含In高、Sn亦高。其他不含锡的铅锌矿床中方铅矿、闪锌矿的Sn、Cu、In含量则相反。
- (4) 锡铅锌矿床中铅锌矿的包裹体及微量元素特征,反映了成矿流体是一种富Cu、Sn、Pb、Zn的溶液,其中F、CO2在成矿作用中起重要作用。个旧锡矿及黄沙坪锡铅锌矿矿床中正接触带夕卡岩具工业意义的铜矿床,锡矿化自接触带至外接触带皆有分布,最外侧为铅锌矿化。在接触带附近的矿石中伴生多期萤石,显示在锡的成矿过程中F的作用是明显的。

锡矿床的成因非常复杂,成矿作用受多种因素影响,成矿物质的来源尚待查明。本文只是一个初步总结。要想肯定一个较有效的找矿标志,还需要做更多的工作,取得更多的数据。

河南省中、西部地区铝(粘)土矿层 的时代与沉积相浅析

河南冶金地质勘探公司 吴国炎

河南省中、西部地区蕴藏着丰富的铝(粘) 土矿资源,以质佳量大而为国内所瞩目。 其赋存 层位在中、下奥陶统(或上寒武统)与上覆上石 炭统的假整合面上,习惯上称"G层粘土矿"。解 放以来经过多年的地质工作,虽然积累了十分丰 富的地质资料,然而由于含矿层所在的假整合 面,其时代间隔跨越过好几个纪,时间长达一亿多年,含矿层本身发现的可资鉴定的化石又很少,因此其时代归属曾引起诸多争论。

五十年代张文堂曾将其与南方宁乡式铁矿层进行对比,把含矿层下部的山西式铁矿定为泥盆系,上部的铝(粘)土矿层定为下石炭统(见《地